



# DÉCLARATION DE PERFORMANCE - DOP N°12

- Code d'identification** : Contreplaqué 100% Pin Maritime - EN 636-3 S
- Numéro de type** : Contreplaqué 100% Pin Maritime pour milieu extérieur

<b>TEBOPIN CLEAR</b>	<b>TEBOPIN EUROPANEL</b>
<b>TEBOPIN STAR</b>	<b>TEBOPIN STANDARD</b>
<b>TEBOPIN ELITE</b>	<b>TEBOPIN SOLID</b>
<b>TEBOPIN SELECT</b>	

- Pour utilisation** : Structurelle extérieure
- Fabricant** :  
SIB THEBAULT SAS - 20 rue de Saunière - 79190 Sauzé-Vaussais - France  
THEBAULT PLYLAND SAS - Rue de la Gare - 40210 Solférino - France
- Mandataire** : non applicable
- Système d'évaluation et de vérification de performances** : 2+
- Certificat de conformité du contrôle de production en usine délivré par** : FCBA (0380)
- Evaluation technique Européenne**
- Performances déclarées** : Spécification technique harmonisée EN 13986:2004+A1:2015  
Caractéristiques essentielles et performances

Épaisseur (mm)	6,5	7	8	9	9,5	10	11	12	15	16	17	18	18	20	20	21	21	22	24	24	25	27	30	30	35	40	45	50	
<b>Nombre de plis</b>	3	3	3	3	5	5	5	5	5	7	7	6	7	7	9	7	9	9	8	9	9	9	10	11	13	15	15	17	
<b>Résistance (N / mm<sup>2</sup>)</b>																													
<b>Traction</b>	//	14,9	13,6	20,1	17,1	15,7	12,5	14,5	15,2	15,7	16,9	12,6	18,2	17,7	17,6	16,1	15,1	15,1	11,9	20,6	11,5	13,2	14,8	16,4	11,2	13,4	13,3	14,6	13,9
	⊥	12,8	14,1	7,6	10,6	12	15,2	9,1	12,5	12	10,8	15,1	9,5	10	10,1	11,6	12,6	12,6	15,8	7,1	12	13,9	12,9	11,3	12,4	14,3	14,4	13,1	13,8
<b>Compression</b>	//	25,5	23,4	34,5	29,3	26,9	21,4	24,8	26	26,9	28,9	21,7	31,1	30,4	30,2	27,6	26	26	20,4	35,3	19,8	22,6	25,4	28,1	19,2	22,9	22,8	25,0	23,9
	⊥	22	24,1	13	18,2	20,6	26,1	15,6	21,5	20,6	18,6	25,8	16,4	17,1	17,3	19,9	21,5	21,5	27,1	12,2	20,6	23,8	22,1	19,4	21,2	24,6	24,7	22,5	23,6
<b>Flexion</b>	//	30,3	29,2	32,9	31,7	24,7	20,3	20,2	23,2	24,4	26,2	19,5	24,0	23	22,5	24,2	20,4	20,4	14,7	22,9	17	14,9	18,6	21,1	15,5	15,9	16,9	19,6	17,3
	⊥	7,2	8,7	2,5	4,9	8,9	17,8	11,8	14,8	13,7	7,4	14,1	9,6	12,1	9	9,3	15,1	15,1	18,5	10,7	12,5	15,5	14,8	12,5	12,7	15,2	15,1	14,0	16,3
<b>Cisaillement roulant</b>	//	2,1	2,1	2,1	2,1	2,1	2,1	2,1	0,5	2,1	2,1	2,1	0,5	2,1	2,1	0,5	0,5	2,1	2,1	2,1	0,5	0,5	2,1	2,1	0,5	0,5	2,1	2,1	
	⊥	0,5	0,5	2,1	0,5	2,1	2,1	0,5	0,5	0,5	2,1	2,1	2,1	2,1	2,1	0,5	0,5	0,5	2,1	2,1	0,5	0,5	2,1	2,1	0,5	0,5	2,1	2,1	
<b>Cisaillement de voile</b>	//	5,9	5,9	5,9	5,9	7,9	5,9	5,9	5,9	7,9	7,9	7,9	7,9	7,9	7,9	7,9	5,9	5,9	5,9	7,9	5,9	5,9	5,9	7,9	5,9	5,9	5,9	7,9	7,9
	⊥	5,9	5,9	5,9	5,9	7,9	5,9	5,9	5,9	5,9	7,9	7,9	7,9	7,9	7,9	7,9	5,9	5,9	5,9	7,9	5,9	5,9	5,9	7,9	5,9	5,9	5,9	7,9	7,9
<b>Module d'élasticité (N / mm<sup>2</sup>)</b>																													
<b>Traction</b>	//	6690	6123	9055	7685	7059	6827	7653	5619	7052	7578	5679	8161	7968	7916	7147	6802	6802	5336	9260	6097	5936	6668	7372	5908	5963	6002	6564	6262
	⊥	5760	6327	3395	4765	5391	5623	4797	6831	5398	4872	6771	4289	4482	4534	5203	5648	5648	7114	3190	6353	6250	5782	5078	6542	6487	6448	5886	6188
<b>Compression</b>	//	6690	6123	9055	7685	7059	6827	7653	5619	7052	7578	5679	8161	7968	7916	7147	6802	6802	5336	9260	6097	5936	6668	7372	5908	5963	6002	6564	6262
	⊥	5760	6327	3395	4765	5391	5623	4797	6831	5398	4872	6771	4289	4482	4534	5203	5648	5648	7114	3190	6353	6514	5782	5078	6542	6487	6448	5886	6188
<b>Flexion</b>	//	11217	10816	12197	11752	9165	8723	8997	7596	9152	9715	7219	8888	9220	9081	8986	8188	8188	6177	8472	7983	6444	7695	7803	7500	7093	6824	7268	6408
	⊥	1233	1634	253	698	3285	3727	3453	2078	3298	2735	5231	3562	3230	3344	3464	4262	4262	6273	3978	4467	4815	4755	4647	4950	5357	5626	5182	6042
<b>Cisaillement roulant</b>	//	95	95	95	95	168	95	95	95	156	208	145	95	149	163	95	95	95	128	95	95	95	160	95	95	95	180	189	
	⊥	95	95	95	95	86	95	95	95	137	103	90	95	142	149	95	95	95	90	95	95	95	164	95	95	95	162	161	
<b>Cisaillement de voile</b>	//	548	548	548	548	548	548	548	548	548	548	548	548	548	548	548	548	548	548	548	548	548	548	548	548	548	548	548	548
	⊥	548	548	548	548	548	548	548	548	548	548	548	548	548	548	548	548	548	548	548	548	548	548	548	548	548	548	548	548

Raideur apparente sous charge concentrée  $R_{mean}$ 

e (mm)	Portée l (mm)									
	300	400	500	600	700	800	900	1000	1100	1200
12	258	167	119	90	71	58	49	41	36	31
15	807	521	371	281	223	182	152	129	112	98
18	1426	921	656	497	393	321	269	229	198	173
21	1650	1066	759	575	455	372	311	265	229	201
22	1026	662	472	358	283	231	193	165	142	125
24	2316	1496	1065	808	639	522	436	371	321	282
30	3913	2527	1800	1364	1079	881	737	628	543	476
35	5488	3544	2525	1914	1514	1236	1033	880	762	667
40	7542	4870	3469	2630	2080	1698	1420	1210	1047	917

Résistance caractéristique ultime sous charge concentrée  $F_{max,k}$ 

e (mm)	Portée l (mm)									
	300	400	500	600	700	800	900	1000	1100	1200
12	4,58	3,76	2,94	2,11						
15	5,98	5,22	4,46	3,70	2,94	2,17	1,41			
18	7,38	6,68	5,98	5,28	4,58	3,88	3,18	2,48	1,78	
21	8,78	8,14	7,50	6,86	6,22	5,59	4,95	4,31	3,67	3,03
22	9,25	8,63	8,01	7,39	6,77	6,15	5,54	4,92	4,30	3,68
24	10,18	9,60	9,02	8,45	7,87	7,29	6,71	6,14	5,56	4,98
30	12,98	12,52	12,07	11,61	11,16	10,70	10,25	9,79	9,34	8,89
35	15,31	14,96	14,60	14,25	13,90	13,55	13,19	12,84	12,49	12,14
40	17,64	17,39	17,14	16,89	16,64	16,39	16,14	15,89	15,64	15,39

Résistance caractéristique de service sous charge concentrée  $F_{ser,k}$ 

e (mm)	Portée l (mm)									
	300	400	500	600	700	800	900	1000	1100	1200
12	3,21	2,63	2,06	1,48	0,90					
15	4,19	3,65	3,12	2,59	2,05	1,52	0,99			
18	5,17	4,68	4,19	3,70	3,21	2,72	2,23	1,74	1,25	
21	6,15	5,70	5,25	4,80	4,36	3,91	3,46	3,02	2,57	2,12
22	6,47	6,04	5,61	5,17	4,74	4,31	3,88	3,44	3,01	2,58
24	7,12	6,72	6,32	5,91	5,51	5,10	4,70	4,30	3,89	3,49
30	9,08	8,77	8,45	8,13	7,81	7,49	7,17	6,86	6,54	6,22
35	10,72	10,47	10,22	9,98	9,73	9,48	9,24	8,99	8,74	8,50
40	12,35	12,17	12,00	11,82	11,65	11,47	11,30	11,12	10,95	10,77

<b>Résistance au contreventement</b>	NPD Pour les obtenir par le calcul, utiliser EN 1195-1-1 avec une masse volumique de 540 (kg/m³)			
<b>Résistance au choc</b>	NPD Conforme aux exigences de résistance à l'impact de EN12871			
<b>Réaction au feu*</b>	<b>Condition d'utilisation finale</b>	<b>Epaisseur minimale</b>	<b>Classe hors planchers</b>	<b>Classe planchers</b>
	Sans lame d'air à l'arrière du panneau	9 mm	D-s2,d0	Dfl-s1
	Avec lame d'air ouverte ou fermée à l'arrière du panneau ne dépassant pas 22 mm	9 mm	D-s2,d2	-
	Avec lame d'air fermée à l'arrière du panneau	15 mm	D-s2,d1	Dfl-s1
	Avec lame d'air ouverte à l'arrière du panneau	18 mm	D-s2,d0	Dfl-s1
	Toutes	3 mm	E	Efl

\*En référence au tableau 8 de EN 13986 - 2004+A1:2015

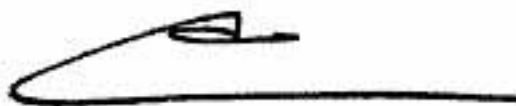
<b>Perméabilité à la vapeur d'eau</b>	<b>μ Coupelle humide</b>		<b>μ Coupelle sèche</b>		
	44		187		
<b>Dégagement de formaldéhyde</b>	E1				
<b>Teneur Pentachlorophénol</b>	PCP < 5 ppm				
<b>Isolement aux bruits aériens</b>	NPD L'affaiblissement acoustique R du son d'un panneau à base de bois seul, mesuré en dB, dépend de la masse surfacique $m_A$ en kg/m <sup>2</sup> selon l'équation suivante (valable seulement pour une plage de fréquences allant de 1 kHz à 3 kHz et pour une masse surfacique >5 kg/m <sup>2</sup> ) : $R = 13 \times \log(m_A) + 14$				
<b>Absorption acoustique (Coefficient)</b>	Pour une plage de fréquence de 250 Hz à 500 Hz		Pour une plage de fréquence de 1000 Hz à 2000 Hz		
	0,10		0,30		
<b>Conductivité thermique (W/m.K)</b>	$\lambda = 0,13$				
<b>Portance locale</b>	NPD Pour les obtenir par le calcul, utiliser EN 1195-1-1 avec une masse volumique de 540 (kg/m <sup>3</sup> )				
<b>Perméabilité à l'air (débit)</b>	0,0 m <sup>3</sup> /(h.m <sup>2</sup> )				
<b>Qualité du collage</b>	Classe 3 (EN 636-3) selon EN 314-2				
<b>Durabilité mécanique <math>k_{mod}</math></b>	<b>Durée de Charge</b>				
	Permanente	Longue	Moyenne	Courte	Instantanée
	0,60	0,55	0,65	0,70	0,90
<b>Durabilité mécanique <math>k_{def}</math></b>	<b>Classe de service</b>				
	1	2		3	
	0,80	1,00		2,50	
<b>Durabilité biologique classe d'emploi</b>	3				

#### 10. Performances du produit :

Les performances du produit identifié aux points 1 et 2 sont conformes aux performances indiquées au point 9.

La présente déclaration des performances est établie sous la seule responsabilité du fabricant indiqué et identifié au point 4.

**Signé pour le fabricant en son nom par :**



Jean-Charles THEBAULT, Président

Fait à Magné le 20/07/2017